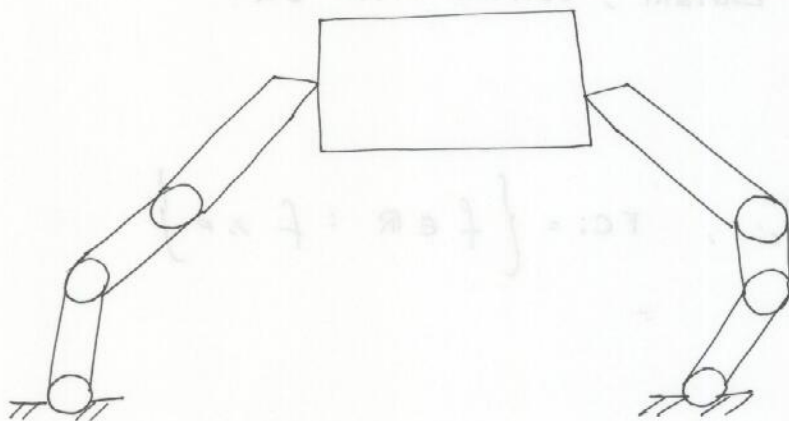
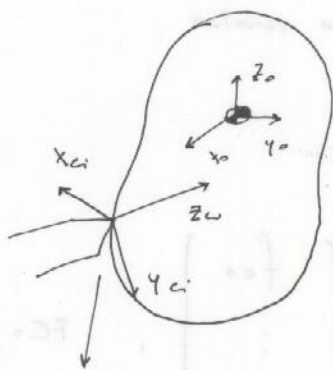


- Riassunto: vogliamo modellare un contesto di manipolazione fatto come in fig.:



Se abbiamo un oggetto su cui agiscono un certo numero di contatti, abbiamo allocato 2 sistemi di riferimento



PUNTO DI CONTATTO

$$r_{ci}^o = \begin{bmatrix} f_{ci} \\ \mu_{ci} \end{bmatrix} = G_{ci} \cdot f_{ci}, \quad f_{ci} \in F_{ci}$$

• CONDIZIONI ALTERNATIVE d. "FORCE CLOSURE":

→ ci limitiamo ai contatti senza attrito.

In questo tipo di contatti, abbiamo visto che:

$$h_{ci}^o = \begin{bmatrix} n_{ci}^o \\ p_{ci}^o \times n_{ci}^o \end{bmatrix} \cdot f_{ci}, \quad FC_i = \left\{ f \in \mathbb{R} : f > 0 \right\}$$

quale tipo di attrito

rimuovo il cerchio

che:

- \bar{F} diretta lungo l'asse e diretta lungo la normale e parallelo ottenere
- \bar{F} diretta lungo una direzione che forrebbe scivolare

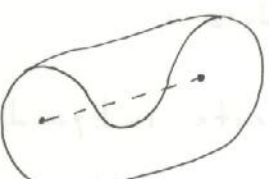
$$h^o = \underbrace{\begin{bmatrix} n_{c1}^o & \dots & n_{ck}^o \\ p_{c1}^o \times n_{c1}^o & \dots & p_{ck}^o \times n_{ck}^o \end{bmatrix}}_G \begin{bmatrix} f_{c1} \\ \vdots \\ f_{ck} \end{bmatrix}, \quad FC = \left\{ f \in \mathbb{R}^k, \begin{array}{l} f_{1>0}, \\ f_{2>0}, \\ \vdots \\ f_{k>0} \end{array} \right\}$$

(1) (G, FC) e' FORCE CLOSURE $\iff G(FC) = \mathbb{R}^6$

(2) Le colonne di G "corrono positivamente" \mathbb{R}^6

→ (1) e (2) sono EQUIVALENTI per tutti i punti
di contatto SENZA ATTRITO

- Def: Un insieme $\{v_1 \dots v_k\}$ come positivamente \mathbb{R}^n se per ogni $x \in \mathbb{R}^n$, esistono combinazioni $\lambda_1 > 0, \dots, \lambda_k > 0$ t.c.
$$x = \lambda_1 v_1 + \dots + \lambda_k v_k$$
- Def: $\{v_1 \dots v_n\}$ sono positivamente dipendenti se esistono combinatori $\exists \lambda_1 > 0 \dots \lambda_n > 0$ t.c.
$$\lambda_1 v_1 + \dots + \lambda_n v_n = 0$$
- Fatto: Se $\{v_1, \dots, v_k\}$ coprono positivamente $\mathbb{R}^n \rightarrow$ positivamente dipendenti
- Def: Un insieme K è convesso se $\forall x, y \in K$

$$\lambda x + (1-\lambda)y \in K \quad \forall \lambda \in [0, 1]$$

- Def: L'inviluppo CONVESSO (CONVE X HULL) di un insieme S è l'inclusione $co(S)$, è il più piccolo insieme convesso che contiene S .



Theo: Si consideri una presa che contiene solo punti.
 CONTATTO SENZA ATTRITO (G, FC) , con $G \in \mathbb{R}^{p \times m}$.

Indichiamo con $\{G_1 \dots G_m\}$ le colonne di G . Sono equivalenti:

(1) (G, FC) e' FOXCE CLOSURE

(2) Le colonne di G coprono positivamente \mathbb{R}^p

(3) LA CONVEX HULL DI $\{G_1 \dots G_m\}$ contiene un intorno dell'origine

(4) NON ESISTE $v \in \mathbb{R}^p$, $v \neq 0$ t.c.

$$v^\top G_i \geq 0 \quad \forall i = 1 \dots m$$

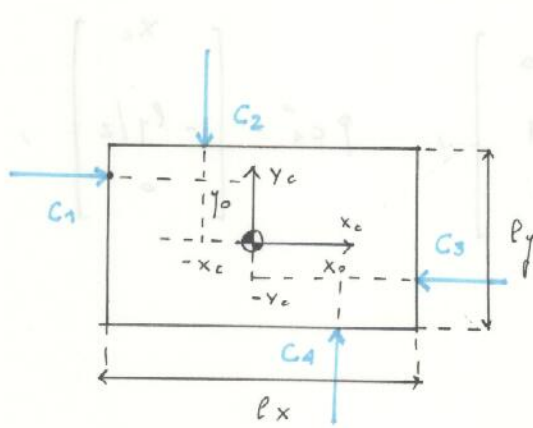
Si puo' dimostrare che (4) puo' essere verificata in modo operativo
 in quanto equivalente alla seguente procedura:

a - si scelgono $p-1$ colonne linearmente indipendenti di G
 e si indichi con v il vettore ortogonale alle $p-1$ colonne

b - si verifica se i prodotti interni di v con le restanti
 colonne hanno tutte lo stesso segno

(4) e' equivalente a testare a- e b- per tutte le scelte delle
 $p-1$ colonne indipendenti

Esempio:



$$G = \begin{bmatrix} n_{c_1}^o & n_{c_4}^o \\ p_{c_1}^o \times n_{c_1}^o & p_{c_4}^o \times n_{c_4}^o \end{bmatrix}$$

$$n_{c_1}^o = \begin{bmatrix} 1 & 1 \\ 1 & -1 \\ 0 & 0 \\ 0 & 0 \end{bmatrix}, \quad p_{c_1}^o = \begin{bmatrix} -l_x/2 \\ y_c \\ 0 \\ \text{X} \end{bmatrix}, \quad p_{c_1}^o \times n_{c_1}^o = \begin{bmatrix} 0 \\ -y_c \\ 0 \\ 0 \end{bmatrix}$$

$$G_1 = \begin{bmatrix} 1 \\ 0 \\ -y_c \end{bmatrix}, \quad n_{c_2}^o = \begin{bmatrix} 0 \\ -1 \\ 0 \end{bmatrix}, \quad p_{c_2}^o = \begin{bmatrix} -x_c \\ l_y/2 \\ 0 \end{bmatrix},$$

$$p_{c_2}^o \times n_{c_2}^o = \begin{bmatrix} 0 \\ 0 \\ x_c \end{bmatrix}$$

$$G_2 = \begin{bmatrix} 0 \\ -1 \\ x_c \end{bmatrix}, \quad n_{c_3}^o = \begin{bmatrix} -1 \\ 0 \\ 0 \end{bmatrix}, \quad p_{c_3}^o = \begin{bmatrix} l_x/2 \\ -y_c \\ 0 \end{bmatrix}$$

$$p c_3^o \times n c_3^o = \begin{bmatrix} 0 \\ 0 \\ y_c \\ 0 \end{bmatrix}$$

$$G_3 = \begin{bmatrix} -1 \\ 0 \\ -y_c \end{bmatrix}, \quad n c_3^o = \begin{bmatrix} 0 \\ 1 \\ 0 \end{bmatrix}, \quad p c_3^o = \begin{bmatrix} x_c \\ -l_1/2 \\ 0 \end{bmatrix},$$

$$p c_4^o \times n c_4^o = \begin{bmatrix} 0 \\ 0 \\ +x_c \end{bmatrix}$$

$$G_4 = \begin{bmatrix} 0 \\ 1 \\ x_c \end{bmatrix}$$

→ $G = \begin{bmatrix} 1 & 0 & -1 & 0 \\ 0 & -1 & 0 & 1 \\ -y_c & x_c & -y_c & x_c \end{bmatrix}$

per semplificare: $a = y_c \rightarrow 0$
 $b = x_c \rightarrow 0$

$$G = \begin{bmatrix} 1 & 0 & -1 & 0 \\ 0 & -1 & 0 & 1 \\ -a & b & -a & b \end{bmatrix}$$

a - scelgo 2 colonne indipendenti di G ---

columns:

$$\begin{bmatrix} 1 & 0 \\ 0 & -1 \\ -a & b \end{bmatrix} \cdot v = \begin{bmatrix} a \\ b \\ -a \end{bmatrix}$$

per verificar:

$$\begin{bmatrix} a & b & -1 \end{bmatrix} \begin{bmatrix} 1 & 0 \\ 0 & -1 \\ -a & b \end{bmatrix} = \begin{bmatrix} 0 & 0 \end{bmatrix}$$

$$\underbrace{\begin{bmatrix} a & b & -1 \end{bmatrix}}_{v^T} \cdot G_3 = \begin{bmatrix} a & b & -1 \end{bmatrix} \begin{bmatrix} -1 \\ 0 \\ -a \end{bmatrix} = -a - a = -2a < 0$$

$$\begin{bmatrix} a & b & -1 \end{bmatrix} G_4 = \begin{bmatrix} a & b & -1 \end{bmatrix} \begin{bmatrix} 0 \\ 1 \\ b \end{bmatrix} = b + b = 2b > 0$$

b - columns:

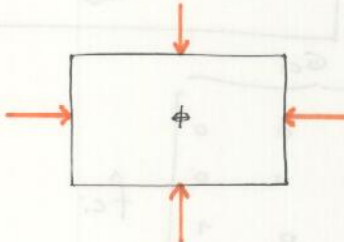
$$\begin{bmatrix} 1 & -1 \\ 0 & 0 \\ -a & -a \end{bmatrix}, \quad r = \begin{bmatrix} 0 \\ 1 \\ 0 \end{bmatrix}$$

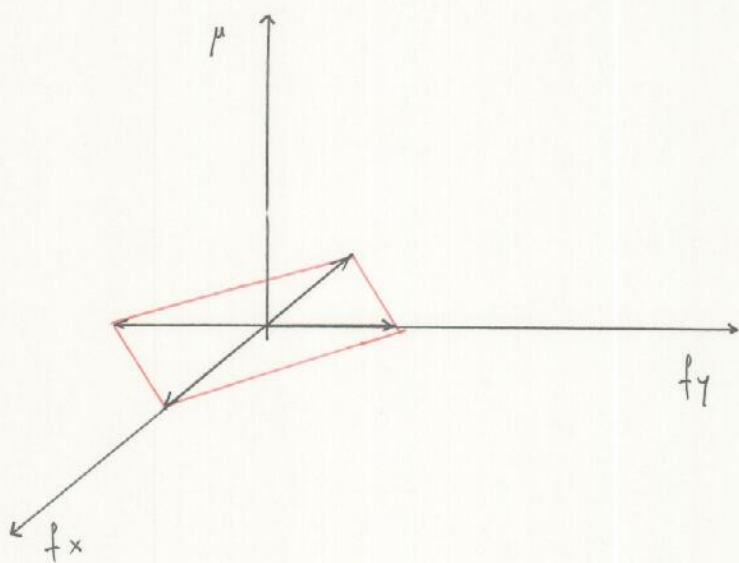
$$a = b = \phi$$

non valo la cintura \perp forza:

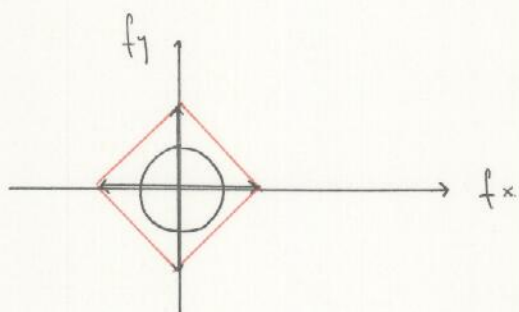
$$G = \begin{bmatrix} 1 & 0 & -1 & 0 \\ 0 & -1 & 0 & 1 \\ 0 & 0 & 0 & 0 \end{bmatrix}$$

ovvero

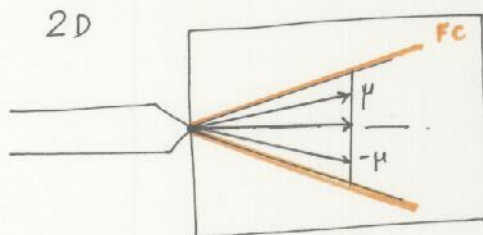
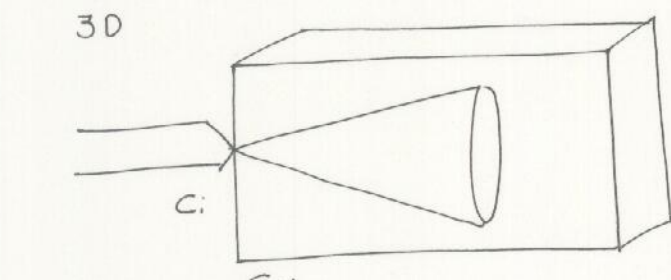




→ Anche lo (3) è FALSIUTA



• Estensione al caso CONTATTI CON ATTRITO:



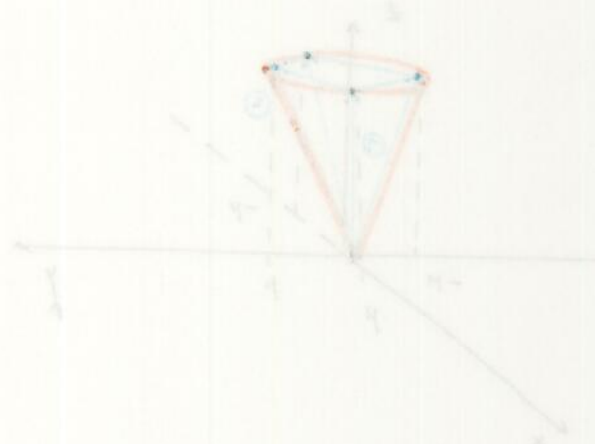
$$f_{C_i} = \underbrace{\begin{bmatrix} 1 & 0 & 0 \\ 0 & 1 & 0 \\ 0 & 0 & 1 \end{bmatrix}}_{G_{C_i}} f_{C_i}$$

$$f_{C_i} = F_{C_i} = \left\{ f \in \mathbb{R}^3 : \sqrt{f_1^2 + f_2^2} \leq \mu f_3, f_3 \geq 0 \right\}$$

Nel piano: $\begin{cases} f_1 \geq 0 \\ f_2 \geq 0 \end{cases}$ sono soluzioni le coordinate dei vertici del triangolo

$$R_{ci}^{ci} = \begin{bmatrix} 1 & 1 \\ \mu & -\mu \\ 0 & 0 \end{bmatrix} f_{ci}, \quad f_{ci} \in FC_i : \left\{ f \in \mathbb{R}^2, f_1 \geq 0, f_2 \geq 0 \right\}$$

$$R_{ci}^{ci} = \begin{bmatrix} 1 & 1 \\ \mu & -\mu \\ 0 & 0 \\ 0 & 0 \\ 0 & 0 \\ 0 & 0 \end{bmatrix} f_{ci}$$

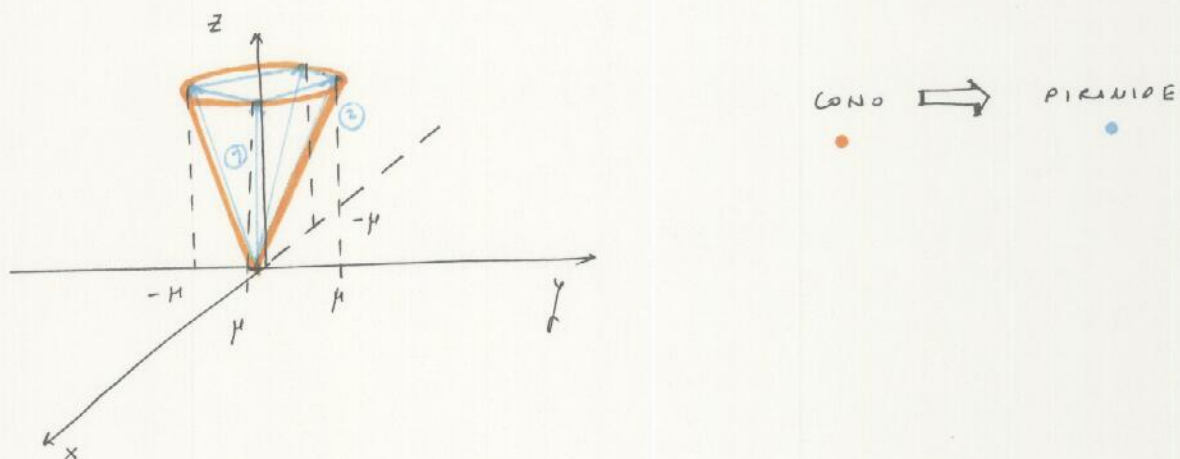


$$R_{ci}^o = \begin{bmatrix} R_{oc_i} & 0 \\ S(p_{oc_i}) R_{oc_i} & R_{oc_i} \end{bmatrix} \cdot R_{ci}^{ci}$$

$$= \begin{bmatrix} R_{oc_i} & 0 \\ S(p_{oc_i}) R_{oc_i} & R_{oc_i} \end{bmatrix} \begin{bmatrix} 1 & 1 \\ \mu & -\mu \\ 0 & 0 \\ 0 & 0 \\ 0 & 0 \\ 0 & 0 \end{bmatrix} f_{ci}, \quad f_{ci} \in FC_i$$

G_{ci}

- Per quel che riguarda l'immersione 3D, si rappresenta il CONO DI ATTRITO.



$$h_{ci}^c = \begin{bmatrix} \mu & -\mu & 0 & 0 \\ 0 & 0 & \mu & -\mu \\ 1 & 1 & 1 & 1 \\ 0 & 0 & 0 & 0 \\ 0 & 0 & 0 & 0 \\ 0 & 0 & 0 & 0 \end{bmatrix} f_{ci}$$

① ②

- Quanti punti sono necessari per una chiusura a forza:

Theo: Se le insiemi $X = \{v_1 \dots v_n\}$ copre positivamente \mathbb{R}^p

$$\text{allora } k \geq p+1$$

Dim: se per allora dobbiamo dare una base di vettori per \mathbb{R}^p allora significa che $\{v_1 \dots v_p\}$ copre positivamente \mathbb{R}^p
 allora: $\{v_1 \dots v_p\}$ è una base. Dato $v \in \mathbb{R}^p \exists! \lambda_1 \dots \lambda_p$
 $v = \lambda_1 v_1 + \dots + \lambda_p v_p$

o v ha sempre uno dei coefficienti positivi o $-v$.

Theo: Esiste sempre un vettore $x = \{v_1 \dots v_n\}$ tale che positivamente \mathbb{R}^n

con $k \leq 2$

UN PUNTO \perp CONTATTO CON ATTRITO NEL CASO PLANARE

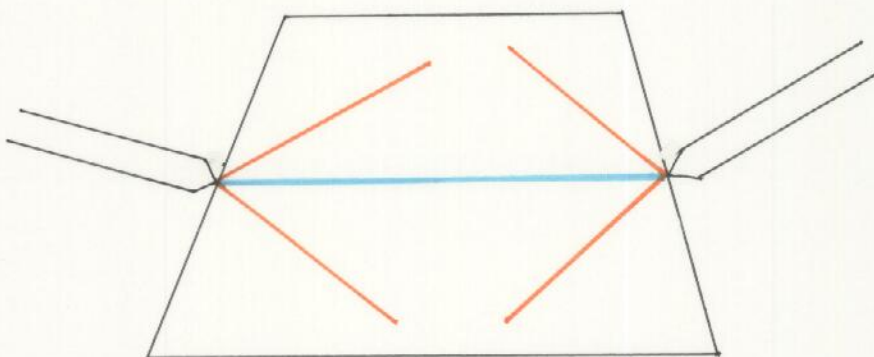
$p = 3$, 2 punti \perp con attrito acci spiegando che

↓

No minimo di colonne in $G = A$, dato che questo punto con attrito
 \perp 2 colonne, c.c. stessa d. chiudere l'oggetto, infatti val.

il teorema seguente:

Theo: Una pista planare con 2 punti \perp contatto con attrito
e in forte chiusura se e solo se la linea congiungente
i due punti \perp contatto giace internamente nei coni di
attrito (all'interno \perp entrambi i coni di attrito).



Generalizzazione al caso 3D:

- TEOREMA: UNA PIENA TRIDIMENSIONALE CON 2 PUNTI DI CONTATTO AL TIRO SOFT FINGER E' CHIUSA SE E SOLO SE LA LINEA CONGIUNGENTE I DUE PUNTI DI CONTATTO GIACE INTERAMENTE ALL'INTERNO DEI DUE CONI DI ATTRITO.